

## سنتز نانوکامپوزیت‌های $\text{Fe}_3\text{O}_4/\text{SiO}_2/\text{TiO}_2\text{-Ag}$ با ساختار هسته-پوسته و بررسی خواص مغناطیسی آن‌ها

فریدن قاسمی<sup>۱</sup>، سعیده داداشیان<sup>۲\*</sup>، فاطمه باورسی‌ها<sup>۳</sup>

(تاریخ دریافت: ۱۳۹۵/۰۷/۳۰، ش.ص. ۵۱-۶۰، تاریخ پذیرش: ۱۳۹۶/۰۴/۲۵)

### چکیده

در این پژوهش نانوکامپوزیت‌های  $\text{Fe}_3\text{O}_4/\text{SiO}_2/\text{TiO}_2\text{-Ag}$  با ساختار هسته-پوسته در چند مرحله تهیه شدند. ابتدا ذرات اکسید آهن به روش احیای کربن سنتز شدند. سپس کامپوزیت  $\text{Fe}_3\text{O}_4/\text{SiO}_2$  با استفاده از پیش ماده تتراتیل اورتوسیلیکات (TEOS) از طریق فرآیند سل-ژل سنتز شد. در ادامه لایه  $\text{TiO}_2$  با استفاده از پیش ماده ترابوتیل اورتوتیتانات (TBOT) به طور مستقیم بر روی سیلیکا پوشش داده شد و در نهایت ذرات نقره با استفاده از فرآیند شیمیایی تر بر روی لایه تیتانیا ( $\text{TiO}_2$ ) قرار گرفتند. نانوکامپوزیت‌های تهیه شده با استفاده از آنالیزهای میکروسکوپ الکترونی روبشی محیطی (FESEM)، میکروسکوپ الکترونی عبوری (TEM)، آنالیز پراش اشعه ایکس (XRD) مشخصه یابی شدند. نتایج حاکی از آن بود که لایه‌نشانی در هر مرحله به طور موفقیت آمیزی انجام شده است و نانوکامپوزیت‌های ۳۰۰-۴۰۰ نانومتر بوده و پس از لایه‌نشانی سیلیکا تقریباً ۴۰۰-۴۵۰ نانومتر شدند و در نهایت پس از قرارگیری لایه تیتانیا، اندازه ذرات نهایی به ۴۵۰-۴۸۰ نانومتر بدست آمد. همچنین نتایج خواص مغناطیسی با استفاده از مغناطیس سنج ارتعاشی (VSM) نشان داد که خاصیت مغناطیسی نانوکامپوزیت‌های  $\text{Fe}_3\text{O}_4/\text{SiO}_2/\text{TiO}_2\text{-Ag}$  در مقایسه با ذرات اولیه  $\text{Fe}_3\text{O}_4$  کمتر شده است که به دلیل حضور لایه‌ها بر روی ذرات اولیه است.

**واژه‌های کلیدی:** ساختار هسته-پوسته، تیتانیوم اکسید، نانوکامپوزیت، ذرات نقره، بازیابی مغناطیسی.

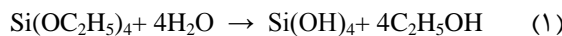
<sup>۱</sup>- مدیر و ریاست بخش پژوهش آزمایشگاه معتمد محیط زیست، شرکت فن آوران زیست کره، ابهر، زنجان، ایران

<sup>۲</sup>- کارشناس تحقیق آزمایشگاه معتمد محیط زیست، شرکت فن آوران زیست کره، ابهر، زنجان، ایران

<sup>۳</sup>- کارشناس آموزش آزمایشگاه معتمد محیط زیست، شرکت فن آوران زیست کره، ابهر، زنجان، ایران

\*-نویسنده مسئول مقاله: info@btlab.ir

می‌کنند [۱۳-۱۴]. در حالی که روش اشتوبر برای لایه  $\text{SiO}_2$  بر روی نانو ذرات آب دوست  $\text{Fe}_3\text{O}_4$  معرفی شده است و هیچ‌گونه سورفکتانتی در این روش استفاده نشده است و الكل، باید به عنوان بستر واکنش استفاده گردد [۱۵-۱۷]. مکانیزم واکنش مطابق واکنش‌های ۱ و ۲ انجام می‌شود:



مرحله اول شامل هیدورلیز می‌باشد که در آن گروه‌های اتوکسی ( $\text{CH}_3\text{CH}_2\text{O}^-$ ) به وسیله عامل‌های OH جایگزین می‌شود و در مرحله دوم، هیدروکسید سیلیسیم در اثر تراکم به سیلیکا تبدیل می‌شود [۱۸].

از طرف دیگر، در راستای بهبود عملکرد فوتوكاتالیستی ذرات تیتانیوم اکسید اغلب از نانو ذرات نقره جهت اصلاح عملکرد این ذرات استفاده می‌شود؛ زیرا نانوذرات نقره به عنوان دام‌های الکترون به جدایش الکترون-حفره کمک کرده و موجب تسهیل در برانگیختگی الکترون می‌شوند. همچنین نقره به دلیل داشتن قیمت کم در مقایسه با سایر فلزات واسطه، ویژگی ضد باکتری و داشتن رفتار ویژه در جذب اکسیژن به عنوان یک انتخاب مناسب برای اصلاح تیتانیوم اکسید در بهبود عملکرد فرآیند فوتوكاتالیستی است [۱۹-۲۰]. کوئی و همکارانش به ساخت فوتوكاتالیست‌های نانو کامپوزیت مغناطیسی نرم با ساختار هسته-پوسته پرداختند. آن‌ها از ذرات کروی  $\text{Fe}_3\text{O}_4$  استفاده کردند تا نانو ذرات هسته-پوسته  $\text{Fe}_3\text{O}_4/\text{SiO}_2/\text{TiO}_2\text{-Ag}$  را با استفاده از روش سل ژل و هیدرورتمال سنتر کردند. بررسی‌ها نشان داد که خواص فوتوكاتالیستی نانو ذرات سنتر شده افزایش یافته است [۲۱]. در این مقاله سعی بر آن شد تا نانو کامپوزیت‌های  $\text{Fe}_3\text{O}_4/\text{SiO}_2/\text{TiO}_2\text{-Ag}$  با روشی ساده در چندین مرحله سنتر شده و چگونگی پوشش‌دهی لایه‌های  $\text{SiO}_2$  و  $\text{TiO}_2\text{-Ag}$  را بر روی ذرات چند ضلعی منظم  $\text{Fe}_3\text{O}_4$  بررسی کرده و ساختار و مورفولوژی ذرات و خواص مغناطیسی آن‌ها تعیین گردد.

## مواد و روش‌ها

### مواد شیمیایی

آهن کلرید (III) شش آبه ( $\text{FeCl}_3\cdot 6\text{H}_2\text{O}$ , 99%), کتان چربی‌زدایی شده، آمونیوم هیدروکسید ( $\text{NH}_3\cdot \text{H}_2\text{O}$ , 25%),

### پیشگفتار

تیتانیا ( $\text{TiO}_2$ ), به دلیل داشتن ویژگی‌هایی از جمله ارزان بودن، پایداری شیمیایی مناسب، قدرت اکسیداسیون بالای آن در تجزیه آلاینده‌های آلی، طبیعت غیرسمی و دامنه کاربرد وسیع، یکی از بیشترین مواد مورد استفاده به عنوان فوتوكاتالیست است [۱-۴]. در حالی که باقی ماندن تیتانیا در محیط واکنش یکی از چالش‌های مهم کاربرد آن شده است. بنابراین برای کاربردهای فوتوكاتالیستی در محیط آبی، فرآیند جدایش و بازیابی مجدد ذرات فوتوكاتالیست امری مهم است. عدم بازیابی نانوساختارها نه تنها باعث افزایش هزینه می‌شود، بلکه احتمالاً آلودگی‌های ثانویه به وجود می‌آورد. راه حل مناسب برای این موضوع، اختلاط اجزای مغناطیسی به موجب خاصیت ذرات مغناطیسی در فرآیند جدایش و بازیابی است [۵-۶]. جداسازی با استفاده از ذرات مغناطیسی ( $\text{-Fe}_2\text{O}_3$ , ...,  $\text{Fe}_3\text{O}_4$ , ...) یک روش آسان و مناسب برای جدا کردن و بازیابی مجدد ذرات توسط میدان مغناطیسی خارجی است.

ذرات مغناطیس برخلاف ذرات تیتانیوم اکسید در محیط‌های اسیدی، بسیار حساس و ناپایدار می‌باشند. لایه‌نشانی مستقیم سطح ذرات مغناطیس با لایه تیتانیا می‌تواند از تجزیه شیمیایی ذرات مغناطیس حمایت کند؛ اما در این لایه‌نشانی، ممکن است پدیده انحلال فوتونی اتفاق بیفتد و باعث می‌شود نه تنها ویژگی‌های اکسید مغناطیسی تغییر کند بلکه عملکرد فوتوكاتالیستی تیتانیوم اکسید را کاهش دهد [۷-۸]. در حالی که قرارگیری یک لایه بین ذرات مغناطیس و لایه تیتانیوم اکسید کمک به حل این مشکل می‌کند. تحقیقات نشان می‌دهد که افزودن لایه سیلیکا بین ذرات اکسید آهن و لایه  $\text{TiO}_2$  باعث افزایش فعالیت فوتوكاتالیستی به دلیل کاهش تأثیر منفی بر روی ذرات هسته مغناطیس می‌شود [۹-۱۰]. روش اشتوبر [۱۱] و امولوژن [۱۲] دو روش معمول برای تهییه نانو ذرات با ساختار هسته-پوسته  $\text{Fe}_3\text{O}_4/\text{SiO}_2$  می‌باشند. فرآیند امولوژن پیچیده است چراکه که مقادیر آب، آمونیا و تتراتیل اورتوسیلیکات، سورفکتانت و مکمل سورفکتانت و مقدار  $\text{Fe}_3\text{O}_4$ ، به طور مستقیم ساختار نهایی نانوذرات هسته-پوسته  $\text{Fe}_3\text{O}_4/\text{SiO}_2$  را تعیین

## سنتز ذرات با ساختار $\text{Fe}_3\text{O}_4/\text{SiO}_2/\text{TiO}_2$

لایه نشانی ذرات  $\text{Fe}_3\text{O}_4/\text{SiO}_2$  تهیه شده در مرحله قبل توسط لایه  $\text{TiO}_2$ ، از طریق فرآیند هیدرولیز و چگالش پیش ماده ترباپوتیل اورتو-تیتانات (TBOT) در محلول اتانول انجام شد [۲۴]. ذرات  $\text{Fe}_3\text{O}_4/\text{SiO}_2$  در  $0.3\text{ g}$  در اتانول ( $60\text{ ml}$ )، HPC ( $1\text{ g}$ ) و آب مقطر ( $24\text{ ml}$ )، با استفاده از حمام اولتراسونیک کاملاً پراکنده شدند. سپس، مخلوطی از پیش ماده TBOT ( $2\text{ ml}$ ) و اتانول ( $10\text{ ml}$ ) به سیستم اضافه شد و به مدت  $90$  دقیقه در دمای  $85$  درجه سانتی گراد نگهداری شد. محصول نهایی چند بار با اتانول و آب مقطر شسته شده و به مدت  $4$  ساعت در دمای  $60$  درجه سانتی گراد خشک شد. در نهایت در دمای  $50^{\circ}\text{C}$ ، حله سانتی گراد به مدت  $2$  ساعت کلسینه شد.

نشستن ذرات نقره بر روی سطح نانوکامپوزیت‌های  $\text{Fe}_3\text{O}_4/\text{SiO}_2/\text{TiO}_2$  با استفاده از روش شیمیایی تر انجام شد [۲۵]. در این روش ابتدا نانوذرات تهیه شده در مرحله قبل با ساختار  $\text{Fe}_3\text{O}_4/\text{SiO}_2/\text{TiO}_2$  در محلول نیترات نقره آمونیاکی ( $15\text{ml}, 0.05\text{M}$ ) تحت همزن شدید به مدت ۱۵ ساعت قرار گرفته، سپس مخلوط PVP ( $1\text{g}/0.05\text{M}$ ) و آتانول ( $15\text{ml}$ ) اضافه شد و به مدت ۴ ساعت در دمای  $70^\circ\text{C}$  در جه سانتی گراد ، تحت فرآیند رفلاکس حرارت داده شد. محصول به دست آمده توسط آهنربا جدا شد و در نهایت در دمای  $50^\circ\text{C}$  در جه سانتی گراد به مدت ۱۰ ساعت خشک گردید.

تتراالیل اور تو سیلیکات (TEOS)، تراابوتیل اور تو تیتانات (TBOT)، هیدروکسی پروپیل سلوژ (HPC)، محلول آمونیاکی نیترات نقره  $\text{Ag}(\text{NH}_3)_2\text{NO}_3$ ، پلی وینیل پیرولیدون (PVP). لیست مواد مورد استفاده در جدول ۱ آورده شده است.

سنتز ذارت

ذرات مغناطیسی  $\text{Fe}_3\text{O}_4$  به روش احیای کربن تهیه شد [۲۲]. ابتدا محلولی شامل ۸۰ گرم  $\text{FeCl}_3 \cdot 6\text{H}_2\text{O}$  و ۱۵۰ میلی لیتر آب مقطر به شدت به مدت ۱۰ دقیقه هم زده شد. سپس ۷ گرم از کتان چربی‌زدایی شده داخل محلول قرار داده شد و به مدت ۱۰ دقیقه تحت حمام آلتراسونیک قرار گرفت تا یون‌های  $\text{Fe}^{3+}$  به خوبی بر روی سطح کتان چربی‌زدایی شده قرار بگیرد. سپس جمع آوری شده و در کوره تیوپی تحت دمای ۴۰۰ درجه سانتی گراد به مدت ۴ ساعت قرار گرفت. ذرات به دست آمده رنگ مشکی داشته و به وسیله آهنربا جذب می‌شوند.

سنتر ذرات با ساختار  $\text{Fe}_3\text{O}_4/\text{SiO}_2$

ذرات با ساختار  $\text{Fe}_3\text{O}_4/\text{SiO}_2$  به روش اصلاح شده استوبر و با تکنیک سل- ژل تهیه شدند [۲۳]. ذرات  $\text{Fe}_3\text{O}_4$  سنتز شده در بخش قبلی ( $0.05\text{ g}$ ) در محلولی از آتانول خالص ( $120\text{ ml}$ ), آب مقطر ( $30\text{ ml}$ ) و آمونیا ( $25\%$ ) وزنی ( $4\text{ ml}$ ) توسط حمام اولتراسونیک پراکنده شدند. سپس پیش ماده تتراتیل اورتوسیلیکات ( $0.5\text{ ml}$ ), قطره قطره به محلول افزوده شد و با استفاده از همزن مکانیکی به مدت ۸ ساعت، همzedه شد. ذرات تهیه شده پس از چندین بار شستشو با آب، توسط آهنربا از محلول جدا شده و به مدت ۲۴ ساعت در دمای  $40^\circ\text{C}$  درجه سانتی گراد در آون خلاً خشک شدند.

## جدول ۱- مواد شیمیایی مورد استفاده

ماده اولیه	آهن	آمونیوم	تتراتیل	تترابوتیل	هیدروکسی	پلی وینیل	نیرات
کلرید(III)	هیدروکسید	اور تو سیلیکات	اور تو تیتانات	پرو پیل سلولز	پیرو لیدون	نقره	
شش آبه							
>٪۹۹	wt.% ۲۵	٪۹۹	٪۹۸	-	-	-	-
درصد خلوص							
شرکت سازنده	Merck	Merck	Sigma Aldrich	Merck	Merck	Merck	Merck

پوسته تشکیل شده‌اند. پوششی نسبتاً شفاف در اطراف ذرات  $\text{Fe}_3\text{O}_4$  دیده می‌شود که با ذرات  $\text{Fe}_3\text{O}_4$  اولیه متفاوت است و می‌توان آن را به پوشش‌دهی پوسته  $\text{SiO}_2$  بر روی ذرات  $\text{Fe}_3\text{O}_4$  نسبت داد. با توجه به شکل، اندازه ذرات  $\text{Fe}_3\text{O}_4/\text{SiO}_2$ , به طور میانگین بین ۳۷۰-۳۸۰ نانومتر می‌باشد و ضخامت لایه  $\text{SiO}_2$  به طور تقریبی ۲۵-۳۰ نانومتر محاسبه شد. همچنین تصاویر TEM در شکل ۲ (ب)، تشکیل ساختار هسته-پوسته ذرات  $\text{Fe}_3\text{O}_4/\text{SiO}_2$  را تایید می‌کند و نشان می‌دهد این لایه به طور یکنواخت بر روی ذرات مغناطیسی چند ضلعی تشکیل شده است. ضخامت پوسته  $\text{SiO}_2$  در این نوع کامپوزیت اهمیت دارد، افزایش ضخامت این پوسته سبب کاهش خواص مغناطیسی و کاهش بازیابی این نanosاختارها از پساب می‌گردد. از طرفی کاهش ضخامت پوسته  $\text{SiO}_2$  موجب افزایش پدیده انحلال هسته و همچنین افزایش آگلومراسیون ذرات می‌گردد که خاصیت فوتوكاتالیستی این کامپوزیت‌ها را کاهش می‌دهد [۲۸ و ۲۳]. در این مطالعه با توجه به تصاویر TEM و FESEM، پوشش  $\text{SiO}_2$  تقریباً بر روی تمامی ذرات  $\text{Fe}_3\text{O}_4$  تشکیل شده است، از این جهت مقدار پیش ماده TEOS مناسب بوده است و ذرات  $\text{Fe}_3\text{O}_4/\text{SiO}_2$  به مقدار کمی آگلومراسیون شده‌اند. ذرات  $\text{Fe}_3\text{O}_4/\text{SiO}_2$  در ادامه لایه‌نشانی  $\text{TiO}_2$  بر روی ذرات  $\text{Fe}_3\text{O}_4/\text{SiO}_2$  توسط روش سل-ژل و با استفاده از هیدرولیز و تراکم پیش ماده تربابوتیل اورتوتیتانات (TBOT) به همراه سورفکتانت هیدروکسی پروپیل سلولز (HPC) انجام شد. در نهایت  $\text{TiO}_2$  با استفاده از کلسیناسیون در دمای ۵۰۰ درجه سانتی‌گراد به مدت ۲ ساعت از فاز آمورف به فاز کریستالی تبدیل گشت. با توجه به شکل ۳، تصاویر FE-SEM و TEM نشان می‌دهند که تیتانیا به صورت لایه یکنواخت بر روی سطح سیلیکا تشکیل شده است و ذرات  $\text{Fe}_3\text{O}_4/\text{SiO}_2/\text{TiO}_2$  با وجود ساختاری سه لایه، شامل  $\text{TiO}_2$  و لایه میانی  $\text{SiO}_2$  و لایه خارجی  $\text{Fe}_3\text{O}_4$  تقریباً مونو دیسپرز هستند. اندازه ذرات  $\text{Fe}_3\text{O}_4/\text{SiO}_2/\text{TiO}_2$  به طور میانگین بین ۳۸۰-۳۹۰ نانومتر می‌باشد.

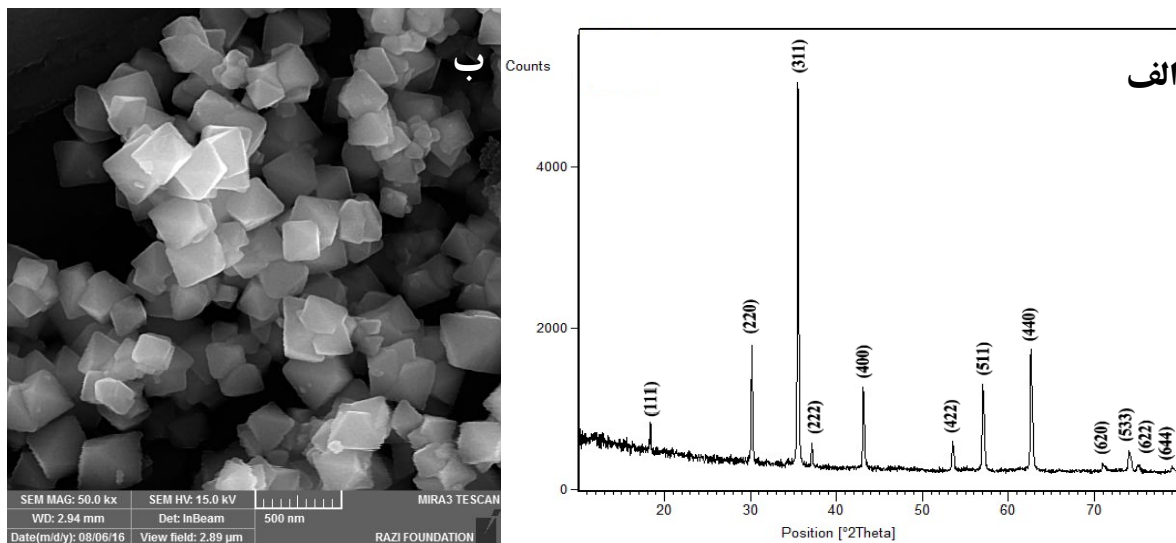
## مشخصه‌یابی

ساختار (مورفولوژی) و اندازه ذرات نانوکامپوزیت‌های تهیه شده، با استفاده از میکروسکوپ الکترونی روبشی محیطی (شرکت TE-SCAN, MIRA3, مدل TEM, Leo 906, Zeiss, ۱۰۰ kv) مشاهده شد. همچنین ترکیب عناصر نانوکامپوزیت‌های فوتوكاتالیستی با استفاده از طیفسنجی اشعه ایکس متناوب (FESEM) همراه با EDS مشخص گردید. ساختار کریستالی ذرات تهیه شده با استفاده از PRO MPD XRD، شرکت PANalytical، ساخت کشور هلند، تابش  $\lambda = \text{Cu K}\alpha$  در رنج ۲۰-۸۰ درجه (درجه) مورد بررسی قرار گرفت. مغناطیس پذیری نانوکامپوزیت‌ها با استفاده از آنالیز خواص مغناطیسی (VSM)، مغناطیس کویر یزد در دمای محیط اندازه گیری شد.

## نتایج و بحث

سنتز نانوکامپوزیت‌های  $\text{Fe}_3\text{O}_4/\text{SiO}_2/\text{TiO}_2\text{-Ag}$  با ساختار هسته-پوسته از طریق چندین مرحله انجام گرفت. ترکیب و فاز ذرات  $\text{Fe}_3\text{O}_4$  تهیه شده در شکل ۱ (الف) با استفاده از الگوی پراش اشعه X، نشان داده شده است. با توجه به الگوی پراش اشعه X، تمامی پیک‌ها متعلق به ذرات  $\text{Fe}_3\text{O}_4$  می‌شوند و هیچ گونه ناخالصی مشاهده نمی‌شود [۲۶]. پیک‌های مربوط به ذرات  $\text{Fe}_3\text{O}_4$  با شماره کارت (۱۶-۰۶۲۹) کاملاً تطابق دارد [۲۷]. از طرفی شکل ۱-(ب)، تصویر FESEM ذرات مغناطیس را نشان می‌دهد، همان‌گونه که مشاهده می‌شود، ذرات  $\text{Fe}_3\text{O}_4$  یک شکل بوده و دارای ساختار غیر کروی (چندضلعی) با میانگین اندازه ذرات تقریباً ۳۵۰ نانومتر می‌باشند و توزیع اندازه آن‌ها وسیع نیست.

با توجه به تصویر FESEM در شکل ۲ (الف) مشاهده می‌شود، لایه نشانی لایه سیلیکا بر روی ذرات مغناطیسی  $\text{Fe}_3\text{O}_4$  با استفاده از روش سل-ژل توسط فرآیند هیدرولیز و تراکم پیش ماده TEOS در مخلوطی از اتانول و آمونیا (روش اصلاح شده اشتوبر) به طور موفقیت آمیزی انجام شده است و ذرات  $\text{Fe}_3\text{O}_4/\text{SiO}_2$  با ساختار هسته-



شکل ۱- ذرات مغناطیسی  $\text{Fe}_3\text{O}_4$  (الف) الگوی پراش اشعه ایکس (ب) تصویر FESEM

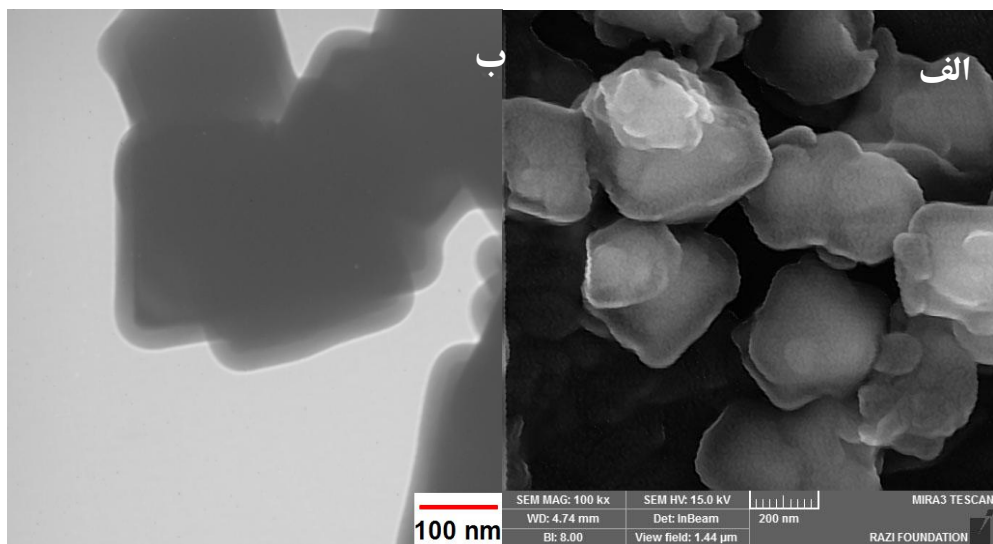
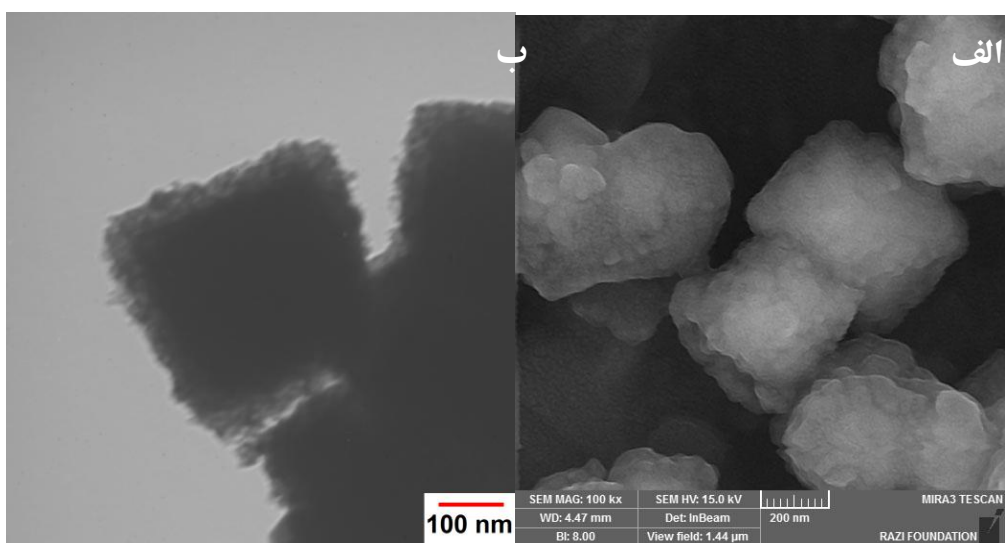
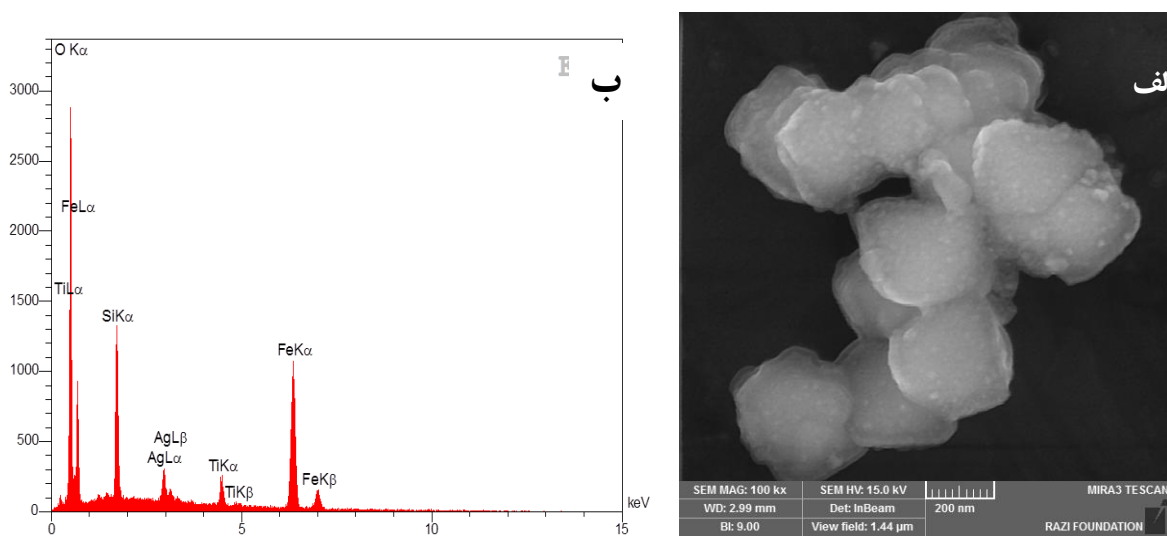
لایه خارجی نانوکامپوزیت  $\text{Fe}_3\text{O}_4/\text{SiO}_2/\text{TiO}_2\text{-Ag}$  تایید می‌کند.

باتوجه به الگوی پراش اشعه X در شکل ۵ مشاهده می‌شود، ترکیب فازی نانوکامپوزیت‌های آناتاز  $\text{TiO}_2$  با شماره ۵۳/۸ کارت (۲۱۷۲-۱۲) است. پیک‌های  $25/4$  و  $101/1$  و  $200/1$  وجود فاز آناتاز را تایید می‌کنند. از طرفی همان‌گونه که قبلاً اشاره شد، تصویر TEM تاییدکننده نانو بودن این ذرات می‌باشد. از آنجایی که فاز  $\text{SiO}_2$  آمورف است، پیکی مربوط به این فاز مشاهده نشد. عدم حضور پنهانی پیک در  $2\theta = 15-25^\circ$  معمولًاً به عنوان پیک سیلیکای آمورف مطرح می‌گردد [۲۲]؛ اما پیک‌های فاز نقره در کنار فازهای  $\text{Fe}_3\text{O}_4$  و  $\text{TiO}_2$  در زوایه‌های  $37/9$ ،  $77/2$  و  $64/3$  به مقدار بسیار کم وجود دارد که نشان‌دهنده قرار گرفتن نانوذرات نقره کریستالیزه شده بر روی لایه خارجی است [۲۵ و ۳۱].

خواص مغناطیسی ذرات  $\text{Fe}_3\text{O}_4$  و نانوکامپوزیت‌های  $\text{Fe}_3\text{O}_4/\text{SiO}_2/\text{TiO}_2\text{-Ag}$  با تغییر میدان مغناطیسی اعمال شده در دمای اتاق در شکل ۶ آورده شده است. پارامترهای مغناطیسی استخراج شده از منحنی‌ها، از جمله خاصیت مغناطیسی اشباع ( $M_s$ )، میزان پسماند یا پایداری مغناطیسی ( $M_r$ ) و میدان پسماندزدایی مغناطیسی ( $H_c$ ) در جدول ۲ آورده شده‌اند.

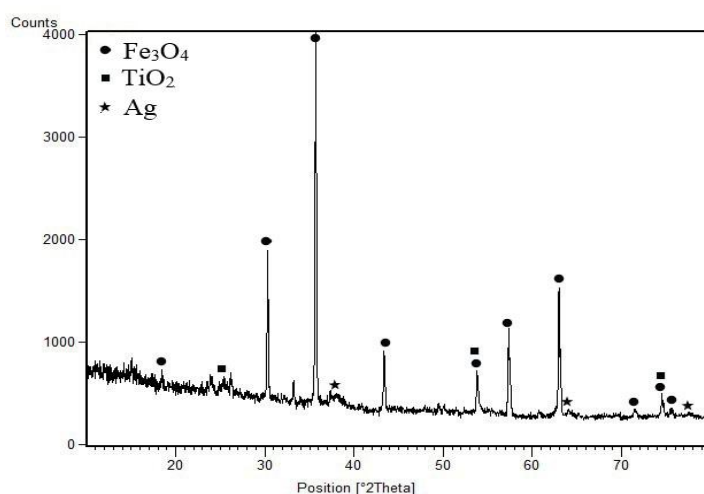
با مقایسه تصاویر در شکل ۲ و ۳ مشاهده می‌شود که سطح صاف و هموار ذرات  $\text{Fe}_3\text{O}_4/\text{SiO}_2$  بعد از لایه نشانی لایه تیتانیوم اکسید با استفاده از پیش ماده تترابوتیل اورتوتیتانات (TBOT) و سورفتکتانت هیدروکسی پروپیل سلولز (HPC)، ناهموار می‌شود که نشان‌دهنده لایه نشانی و کریستالیزاسیون لایه تیتانیوم اکسید است. ذرات با حضور نانوکریستال‌های تیتانیا ( $\text{TiO}_2$ ) به صورت یکنواخت بدون آگلومerasیون باقی می‌مانند [۲۴ و ۲۹]. با توجه به تصویر TEM مشاهده می‌شود، لایه تیتانیوم اکسید بر روی ذرات سیلیکا کاملاً فشرده است که مربوط به اندازه کوچک ذرات تیتانیوم اکسید است و نشان‌دهنده نانو ساختار بودن هسته-پوسته است [۳۰].

از آنجایی که برای نشستن ذرات نقره بر روی سطح نانوکامپوزیت‌های  $\text{Fe}_3\text{O}_4/\text{SiO}_2/\text{TiO}_2$  با ساختار هسته-پوسته از روش شیمیایی تر استفاده شد، سطح ناهموار لایه تیتانیوم اکسید مکان‌های مناسبی برای نشاندن ذرات نقره می‌باشد [۲۵]. شکل ۴ (الف) تصویر FESEM ذرات  $\text{Fe}_3\text{O}_4/\text{SiO}_2/\text{TiO}_2\text{-Ag}$  را نشان می‌دهد. با توجه به شکل، ذرات  $\text{Fe}_3\text{O}_4/\text{SiO}_2/\text{TiO}_2\text{-Ag}$  تقریباً مونوپرسپرز هستند و  $\text{TiO}_2$  تعداد زیادی از نانوذرات نقره بر روی سطح لایه  $\text{Fe}_3\text{O}_4/\text{SiO}_2/\text{TiO}_2\text{-Ag}$  چسبیده‌اند. جهت مشخص نمودن حضور ذرات نقره بر روی سطح ذرات  $\text{TiO}_2$ ، آنالیز EDS در شکل ۴ (ب) نشان می‌دهد که نانوکامپوزیت‌ها شامل چهار عنصر اصلی (Si, Ti, Ag) هستند؛ بنابراین حضور نانوذرات Ag را در

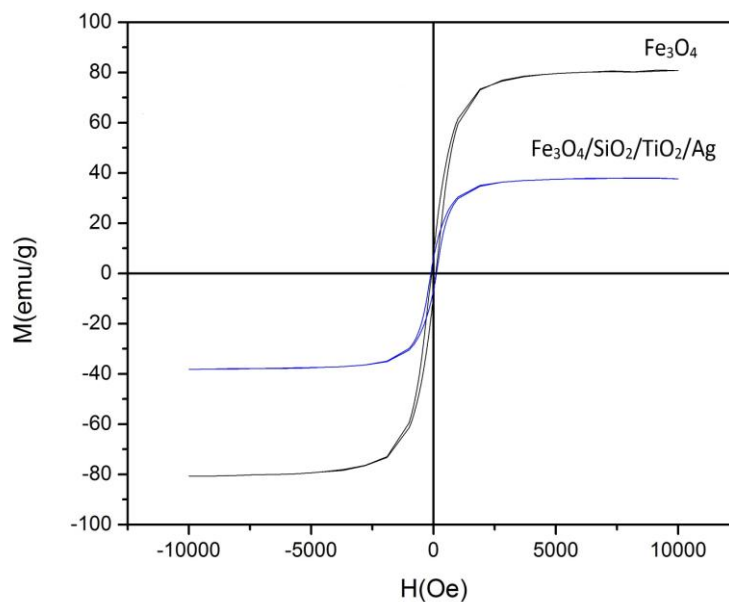
شکل ۲ - نانوکامپوزیت  $\text{Fe}_3\text{O}_4/\text{SiO}_2$  (الف) تصویر FE-SEM و (ب) تصویر TEMشکل ۳ - نانوکامپوزیت  $\text{Fe}_3\text{O}_4/\text{SiO}_2/\text{TiO}_2$  (الف) تصاویر FE-SEM و (ب) تصویر TEMشکل ۴ - ذرات  $\text{Fe}_3\text{O}_4/\text{SiO}_2/\text{TiO}_2$ -Ag (الف) تصویر FE-SEM و (ب) طیف EDX

شده بر روی ذرات وابسته است به گونه‌ای که هرچه این پوشش‌ها بیشتر باشند، این کاهش در میزان خاصیت مغناطیسی اشباع بیشتر است؛ اما همچنان نانوکامپوزیت‌های  $\text{Fe}_3\text{O}_4/\text{SiO}_2/\text{TiO}_2\text{-Ag}$  با ساختار هسته-پوسته خاصیت مغناطیسی قوی دارند که برای جداسازی مغناطیسی و بازیابی مجدد بسیار مناسب هستند[۳۲]. این خاصیت موجب می‌شود این مواد در فرآیندهای تصفیه آب با کمترین آلودگی‌های ثانویه استفاده شوند.

ظاهر منحنی‌های مغناطیسی برای  $\text{Fe}_3\text{O}_4$  و  $\text{Fe}_3\text{O}_4/\text{SiO}_2/\text{TiO}_2\text{-Ag}$  نشان می‌دهد که آن‌ها دارای اندکی خواص فرومغناطیسی هستند (به دلیل حلقه هیسترزیس باریک) و همان‌گونه که در منحنی‌ها نشان داده شده است، لایه‌نشانی ذرات  $\text{Fe}_3\text{O}_4$  سبب کاهش خواص مغناطیسی آن شده است به طوری که میزان خاصیت مغناطیسی اشباع برای  $\text{Fe}_3\text{O}_4$  از  $80\text{ emu/g}$  به  $37\text{ emu/g}$  برای ذرات  $\text{Fe}_3\text{O}_4/\text{SiO}_2/\text{TiO}_2\text{-Ag}$  کاهش یافته است و این کاهش به ضخامت لایه‌های پوشش داده



شکل ۵- الگوی پراش اشعه ایکس نانوکامپوزیت‌های  $\text{Fe}_3\text{O}_4/\text{SiO}_2/\text{TiO}_2\text{-Ag}$



شکل ۶- منحنی ویژگی‌های مغناطیسی  $\text{Fe}_3\text{O}_4/\text{SiO}_2/\text{TiO}_2\text{-Ag}$  و  $\text{Fe}_3\text{O}_4$

جدول ۲- ویژگی‌های مغناطیسی برای ذرات  $\text{Fe}_3\text{O}_4$  و  $\text{Fe}_3\text{O}_4/\text{SiO}_2/\text{TiO}_2\text{-Ag}$ 

Hc(Oe)	Mr(emu/g)	Ms(emu/g)	نمونه
۸۸	۸	۸۰	$\text{Fe}_3\text{O}_4$
۱۱۸	۶/۴۳	۳۷	$\text{Fe}_3\text{O}_4/\text{SiO}_2/\text{TiO}_2\text{-Ag}$

## نتیجه‌گیری

هستند. این خاصیت هسته مغناطیسی نانوساختارهای غیرکروی، این امکان را فراهم می‌کند که با استفاده از نیروی مغناطیسی خارجی به راحتی از محلول جدا شوند. از طرفی این نانوساختارها به دلیل وجود تیتانیا اصلاح شده با ذرات نقره بر روی سطح می‌توانند در تصفیه رنگ‌های آلی استفاده شوند.

## سپاس‌گذاری

بدین وسیله از کلیه عوامل شرکت فن‌آوران زیست کره که با حمایت و پشتیبانی در تمامی مراحل اجرای پژوهش ما را یاری نمودند، سپاس‌گذاری می‌شود.

در این پژوهش، سنتز نانوکامپوزیت‌های  $\text{Fe}_3\text{O}_4/\text{SiO}_2/\text{TiO}_2\text{-Ag}$  در چندین مرحله به طور موفقیت آمیزی انجام شد. ابتدا با استفاده از پیش ماده TEOS لایه‌نشانی سیلیکا بر روی ذرات مغناطیسی  $\text{Fe}_3\text{O}_4$  به عنوان هسته مغناطیسی انجام شد. سپس در ادامه لایه  $\text{TiO}_2$  با استفاده از پیش ماده TBOT و با استفاده از سورفکتانت لایه‌نشانی شد و در نهایت نانوذرات نقره بر روی سطح خارجی ساختار هسته-پوسته قرار گرفتند و نانوکامپوزیت‌های  $\text{Fe}_3\text{O}_4/\text{SiO}_2/\text{TiO}_2\text{-Ag}$  تهیه شدند. با توجه به نتایج مغناطیس سنج ارتعاشی، با لایه‌نشانی خاصیت مغناطیسی نانوکامپوزیت‌ها نسبت به ذرات اولیه  $\text{Fe}_3\text{O}_4$  کم شده است؛ اما همچنان دارای خاصیت مغناطیسی قوی

## References:

- ۱- ن. بهمندی طلوع، م.ح. فتحی، ا. منشی، و. مرتضوی، ف. شیرانی و م. محمدی سیچانی، "سنتز و ارزیابی رفتار ضدباکتریایی نانوذرات تیتانیا دوب پ شده با نقره به عنوان یک افزودنی ضدباکتریایی به مواد دندانی"، مجله مواد نوین، جلد ۴، شماره ۱، ص ۳۴-۲۱، پاییز ۹۲.
- 2- H. Liu, Z. Jia, S. Ji, Y. Zheng, M. Li, H. Yang, "Synthesis of  $\text{TiO}_2/\text{SiO}_2@\text{Fe}_3\text{O}_4$  magnetic microspheres and their properties of photocatalytic degradation dyestuff", Catalysis Today 175, 293– 298, 2011.
- 3- J.P. Cheng, R. Ma, M. Li, J.S. Wu, F. Liu, X.B. Zhang, "Anatase nanocrystals coating on silica-coated magnetite: Role of polyacrylic acid treatment and its photocatalytic properties", Chemical Engineering Journal 210, 80–86, 2012.
- 4- Z. Teng, X. Su, G. Chen, C. Tian, H. Li, L. Ai, G. Lu, "Superparamagnetic high-magnetization composite microspheres with  $\text{Fe}_3\text{O}_4@\text{SiO}_2$  core and highly crystallized mesoporous  $\text{TiO}_2$  shell", Colloids and Surfaces A: Physicochem. Eng. Aspects 402, 60–65, 2012.
- 5- W. Wu, C.Z. Jiang, V.A.L. Roy, "Recent progress in magnetic iron oxide-semiconductor composite nanomaterials as promising photocatalysts", Nanoscale 7, 38–58, 2015.

- 6- Z. Liu, F.T. Chen, Y.P. Gao, Y. Liu, P.F. Fang, S.J. Wang, "A novel synthetic route for magnetically retrievable  $\text{Bi}_2\text{WO}_6$  hierarchical microspheres with enhanced visible photocatalytic performance", *J. Mater. Chem. A1*, 7027–7030, 2013.
- 7- V. Belessi, D. Lambropoulou, I. Konstantinou, R. Zboril, J. Tucek, D. Jancik, T. Albanis, D. Petridis, "Structure and photocatalytic performance of magnetically separable titania photocatalysts for the degradation of propachlor", *Appl. Catal. B*, 87, 181-189, 2009.
- 8- D. Beydoun, R. Amal, G. Low, S. McEvoy, "Occurrence and prevention of photodissolution at the phase junction of magnetite and titanium dioxide", *J. Mol. Catal. A*, 180, 193-200, 2002.
- 9- X. F. Song, L. Gao, "Fabrication of bifunctional titania/silica-coated magnetic spheres and their photocatalytic activities", *J. Am. Ceram. Soc.*, 90, 4015-4019, 2007.
- 10- C. X. Wang, L. W. Yin, L. Y. Zhang, L. Kang, X. F. Wang, R. Gao, "Magnetic  $(\gamma\text{-Fe}_2\text{O}_3@\text{SiO}_2)_n@\text{TiO}_2$  Functional Hybrid Nanoparticles with Activated Photocatalytic Ability", *J. Phys. Chem. C*, 113, 4008, 2009.
- 11- J.C. Aphesteguy, S.E. Jacobo, N.N. Schegoleva, G.V. Kurlyandskaya, "Characterization of Nanosized Spinel Ferrite Powders Synthesized by Coprecipitation and Autocombustion Method", *J. Alloys Compd.* 495 509–512, 2010.
- 12- Z.H. Zhou, J. Wang, X. Liu, H.S.O. Chan, "Synthesis of  $\text{Fe}_3\text{O}_4$  nanoparticles from emulsions", *J. Mater. Chem.* 11, 1704–1709, 2001.
- 13- H. L. Ding, Y. X. Zhang, S. Wang, J. M. Xu, S. C. Xu and G. H. Li, "Fe<sub>3</sub>O<sub>4</sub>@SiO<sub>2</sub> Core/Shell Nanoparticles: The Silica Coating Regulations with a Single Core for Different Core Sizes and Shell Thicknesses", *Chem. Mater.*, 24, 4572, 2012.
- 14- M. Stjerndahl, M. Andersson, H. E. Hall, D. M. Pajerowski, M. W. Meisel and R. S. Duran, "Superparamagnetic Fe<sub>3</sub>O<sub>4</sub>/SiO<sub>2</sub> Nanocomposites: Enabling the Tuning of Both the Iron Oxide Load and the Size of the Nanoparticles", *Langmuir*, 24, 3532, 2008.
- 15- R. Fu, X. Jin, J. Liang, W. Zheng, J. Zhuang and W. Yang, "Preparation of nearly monodispersed Fe<sub>3</sub>O<sub>4</sub>/SiO<sub>2</sub> composite particles from aggregates of Fe<sub>3</sub>O<sub>4</sub> nanoparticles", *J. Mater. Chem.*, 21, 15352, 2011.
- 16- Y. Wang, X. Peng, J. Shi, X. Tang, J. Jiang and W. Liu, "Highly selective fluorescent chemosensor for Zn<sup>2+</sup> derived from inorganic-organic hybrid magnetic core/shell Fe<sub>3</sub>O<sub>4</sub>@SiO<sub>2</sub> nanoparticles", *Nanoscale Res. Lett.*, 7, 86, 2012.
- 17- C. Hui, C. Shen, J. Tian, L. Bao, H. Ding, C. Li, Y. Tian, X. Shia and H. J. Gao, "Core-shell Fe<sub>3</sub>O<sub>4</sub>@SiO<sub>2</sub> nanoparticles synthesized with well-dispersed hydrophilic Fe<sub>3</sub>O<sub>4</sub> seeds", *Nanoscale*, 3, 701, 2011.
- 18- Everett. D. H, "Basic principles of Colloid Science", Royal Society of Chemistry, 1988.
- 19- T. Hirakawa, P.V. Kamat, "Charge separation and catalytic activity of Ag@TiO<sub>2</sub> core–shell composite clusters under UV-irradiation", *J. Am. Chem. Soc.* 127, 3928–3934, 2005.
- 20- J.F. Guo, B. Ma, A. Yin, K. Fan, W.L. Dai, "Photodegradation of rhodamine B and 4- chlorophenol using plasmonic photocatalyst of Ag-AgI/Fe<sub>3</sub>O<sub>4</sub>@SiO<sub>2</sub> magnetic nanoparticle under visible light

- irradiation", *Appl. Catal. B Environ.* 101, 580–586, 2011.
- 21- B. Cui, H. Peng, H. Xia, X. Guo, H. Guo, "magnetically recoverable core–shell nanocomposites  $\gamma\text{-Fe}_2\text{O}_3@\text{SiO}_2@\text{TiO}_2\text{-Ag}$  with enhanced photocatalytic activity and antibacterial activity", *Separation and Purification Technology* 103: 251–257, 2013.
- 22- Junyang Li, Libo Gao, Qiang Zhang, Ruiting Feng, Hongyan Xu, Jie Wang, Dong Sun, and Chenyang Xue, "Photocatalytic Property of  $\text{Fe}_3\text{O}_4/\text{SiO}_2/\text{TiO}_2$  Core-Shell Nanoparticle with Different Functional Layer Thicknesses", *Journal of Nanomaterials*, Article ID 986809, 7 pages, 2014.
- 23-Y. H. Deng, C. C. Wang, J. H. Hu, W. L. Yang, and S. K. Fu, "Investigation of formation of silica-coated magnetite nanoparticles via sol-gel approach", *Colloids and Surfaces A*, vol. 262, no. 1–3, pp. 87–93, 2005.
- 24- M.M. Ye, Q. Zhang, Y.X. Hu, J.P. Ge, Z.D. Lu, L. He, Z.L. Chen, Y.D. Yin, "Magnetically recoverable core–shell nanocomposites with enhanced photocatalytic activity", *Chem. Eur. J.* 16 (2010) 6243–6250.
- 25- Y. Chi, Q. Yuan, Y.J. Li, L. Zhao, N. Li, X.T. Li, W.F. Yan, "Magnetically separable  $\text{Fe}_3\text{O}_4@\text{SiO}_2@\text{TiO}_2\text{-Ag}$  microspheres with well-designed nanostructure and enhanced photocatalytic activity", *J. Hazard. Mater.* 262 (2013) 404–41.
- 26- Haiping Qi, Jing Ye, Nan Tao, Minghua Wen, Qianwang Chen, "Synthesis of octahedral magnetite microcrystals with high crystallinity and low coercive field", *Journal of Crystal Growth* 311, 394–398, 2009.
- 27- Xiaotai Zhang, Jiaqi Wan, Kezheng Chen, Shuxian Wang, "Controlled synthesis of spherical and cubic nanocrystal clusters", *Journal of Crystal Growth* 372, 170–174, 2013.
- 28- Sachnin A. Kulkarni, P. S. Sawadh, Prakash K. Palei, "Synthesis and Characterization of Superparamagnetic  $\text{Fe}_3\text{O}_4@\text{SiO}_2$  Nanoparticles", *Journal of the Korean Chemical Society*, Vol. 58, No. 1, 2014.
- 29- J. Lee, M. Othman, Y. Eom, T. Lee, W. Kim, J. Kim, "The effects of sonification and  $\text{TiO}_2$  deposition on the micro-characteristics of the thermally treated  $\text{SiO}_2/\text{TiO}_2$  spherical core–shell particles for photo-catalysis of methyl orange", *Microporous Mesoporous Mater.* 116 (2008) 561–568.
- 30- J.W. Lee, K. Hong, W.S. Kim, J. Kim, "Effect of HPC concentration and ultrasonic dispersion on the morphology of titania-coated silica particles", *Journal of Industrial Engineering Chemistry* 11 (2005) 609–614.
- 31- Jian Wang, Jinghai Yang, Xiuyan Li, Bing Wei, Dandan Wang, Hang Song, Hongju Zhai, Xuefei Li, "Synthesis of  $\text{Fe}_3\text{O}_4@\text{SiO}_2@\text{ZnO}\text{-Ag}$  core–shell microspheres for the repeated photocatalytic degradation of rhodamine B under UV irradiation", *Journal of Molecular Catalysis A: Chemical* 406 (2015) 97–105.
- 32- X. Wang, L.Y. Wang, X.W. He, Y.K. Zhang, L.X. Chen, "A molecularly imprinted polymer-coated nanocomposite of magnetic nanoparticles for estrone recognition". *Talanta*, 2009, 78: 327—332.